



UNCUYO
UNIVERSIDAD
NACIONAL DE CUYO



FACULTAD DE
INGENIERÍA

MECÁNICA DE SUELOS Y ROCAS II

MODELOS CONSTITUTIVOS EN GEOTECNIA

Introducción al comportamiento tensión - deformación

- Que es un modelo constitutivo ?
- Tensores de tensión y deformación
- Estado hidrostático y de desvío
- Trayectorias de tensión
- Elasticidad
- Elastoplasticidad
- Criterios de ruptura
- Tipos de endurecimiento plástico
- Modelo Mohr-Coulomb

MODELO:

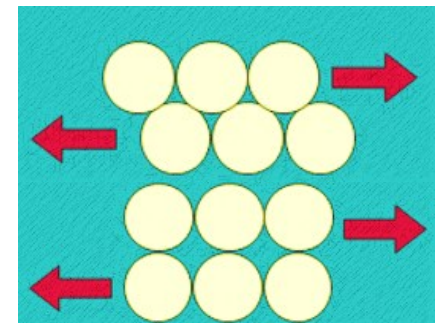
- Formulación matemática que **idealiza** el comportamiento *mecánico* de un material (suelo, roca) en lo que respecta a la relación entre tensiones e deformaciones.

PARÁMETROS:

- El modelo se calibra a cada tipo de material a través de sus parámetros, los cuales deben ser adoptados en base a:
 - Información de laboratorio o campo (ensayos);
 - Correlaciones;
 - Valores empíricos;
 - Valores de la literatura sugeridos;
 - Valores adoptados con algún criterio específico;
- Sobre los parámetros del modelo se pueden realizar **análisis de sensibilidad**, consistentes en la variación controlada de cada parámetro relevante para el análisis a fin de obtener *tendencias de variación* en el resultado obtenido.

MODELOS PARA SUELOS:

- Los modelos deben considerar e incluir de alguna forma:
- LAS FASES: Los suelos son compuestos por tres fases, sólido, agua y aire. La interacción entre las fases es relevante al comportamiento mecánico del suelo (presión de poros, succión, colapso, hinchamiento).
- GRANULOMETRIA: Dependiendo de la granulometría, el comportamiento será del tipo granular o cohesivo.
- CONSOLIDACIÓN: En suelos finos y cohesivos incluyendo variación en las presiones de poros, deformaciones diferidas en el tiempo y rigidización del suelo.
- DILATANCIA y CONTRACCIÓN: Los suelos granulares en general son materiales de comportamiento *acoplado*:
 - Deformaciones volumétricas asociadas a tensiones normales;
 - Distorsiones angulares asociadas a tensiones de corte;
 - Acoplamiento: **Deformaciones volumétricas asociadas a tensiones de corte;**



TENSOR (MATRIZ):

Ente matemático que es independiente de los ejes de referencia.

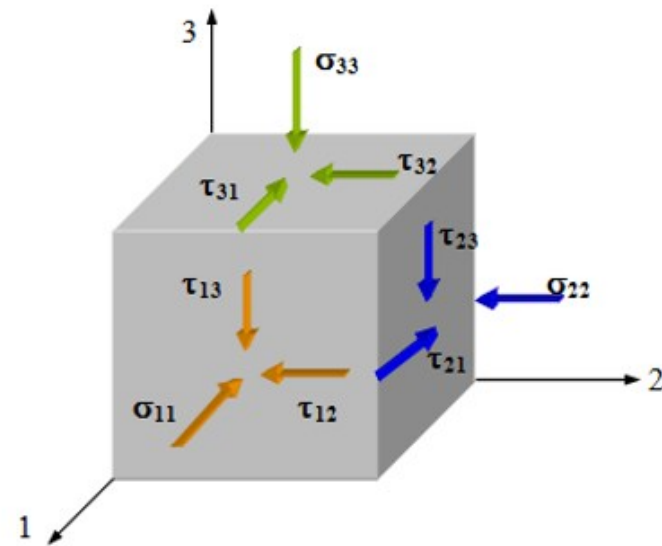
- Las constantes son tensores de orden "0".
- Los vectores son tensores de orden "1".
- Las matrices son tensores de orden "2".

TENSOR DE TENSIONES

$$T_{\sigma} = \begin{bmatrix} \sigma_{11} & \tau_{12} & \tau_{13} \\ \tau_{21} & \sigma_{22} & \tau_{23} \\ \tau_{31} & \tau_{32} & \sigma_{33} \end{bmatrix}$$

TENSIÓN DE DEFORMACIONES

$$T_{\varepsilon} = \begin{bmatrix} \varepsilon_{11} & \frac{1}{2}\gamma_{12} & \frac{1}{2}\gamma_{13} \\ \frac{1}{2}\gamma_{21} & \varepsilon_{22} & \frac{1}{2}\gamma_{23} \\ \frac{1}{2}\gamma_{31} & \frac{1}{2}\gamma_{32} & \varepsilon_{33} \end{bmatrix}$$



σ = Tensión normal
 τ = Tensión de corte

ESTADO HIDROSTÁTICO (mean stress):

Las tensiones normales son iguales (en módulo y signo) en las tres direcciones:

- No hay tensiones de corte (ej. condición de *presión de cámara* en el ensayo triaxial).
- Representa un estado de equilibrio para el suelo (con una “tensión esférica”).

ESTADO DE DESVÍO (deviatoric stress):

Estado de tensiones resultante de restar a un dado estado de tensiones cualquiera el tensor de estado hidrostático.

- Existen tensiones de corte (ej. *Desviador* del ensayo triaxial).
- Representa un estado que puede llevar a la rotura o plastificación.

Tensión esférica: $p = \frac{1}{3}(\sigma_{11} + \sigma_{22} + \sigma_{33})$

Deformación volumétrica: $\varepsilon_v = \varepsilon_{11} + \varepsilon_{22} + \varepsilon_{33}$

$$T_\sigma = \begin{bmatrix} p & 0 & 0 \\ 0 & p & 0 \\ 0 & 0 & p \end{bmatrix} + \begin{bmatrix} \sigma_{11} - p & \tau_{12} & \tau_{13} \\ \tau_{21} & \sigma_{22} - p & \tau_{23} \\ \tau_{31} & \tau_{32} & \sigma_{33} - p \end{bmatrix}$$

HIDROSTATICO

DESVIO

$$T_\varepsilon = \frac{1}{3}\varepsilon_v \delta_{ij} \begin{bmatrix} 1 & 0 & 0 \\ 0 & 1 & 0 \\ 0 & 0 & 1 \end{bmatrix} + \begin{bmatrix} E_{11} & E_{12} & E_{13} \\ E_{21} & E_{22} & E_{23} \\ E_{31} & E_{32} & E_{33} \end{bmatrix}$$

HIDROSTATICO

DESVIO

ESPACIO DE TENSIONES:

Es el espacio cartesiano definido por los ejes de las tensiones principales, donde son representados planos y rectas relevantes al análisis de las trayectorias de tensión:

- **Diagonal espacial**, para las trayectorias hidrostáticas.
- **Plano de Rendulic** para las trayectorias triaxiales.
- **Plano Octaédrico**, para las trayectorias de desvío.

INVARIANTES DE TENSIONES

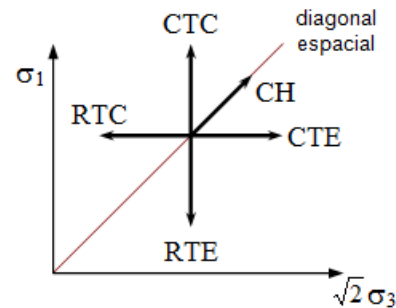
$$T_{\sigma} = p\delta_{ij} + S_{ij}$$

$$J_1 = tr(\sigma) = \sigma_{11} + \sigma_{22} + \sigma_{33}$$

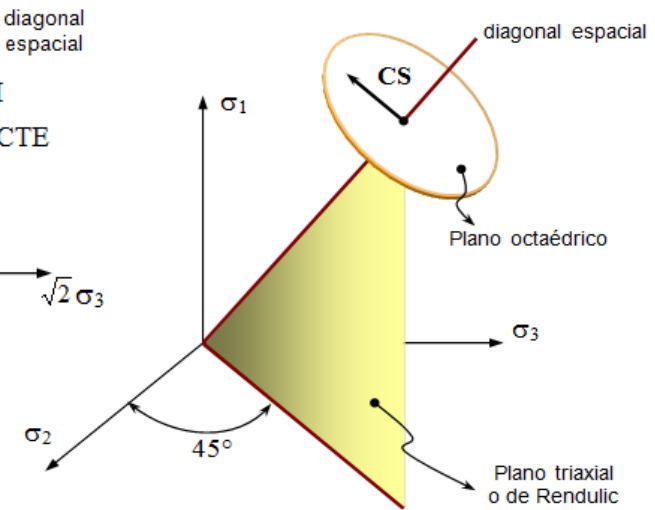
$$J_{2D} = \frac{1}{2}tr(S)^2 = \frac{1}{2}[(\sigma_{11} - p)^2 + (\sigma_{22} - p)^2 + (\sigma_{33} - p)^2 + 2S_{12}^2 + 2S_{23}^2 + 2S_{13}^2]$$

$$J_{3D} = \frac{1}{3}tr(S)^3 = J_3 - \frac{2}{3}J_1J_2 + \frac{2}{27}J_1^3$$

Plano Triaxial



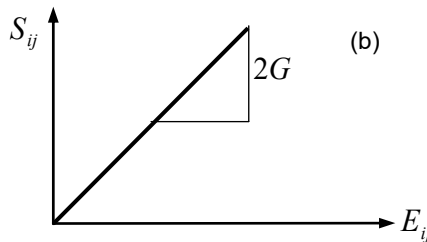
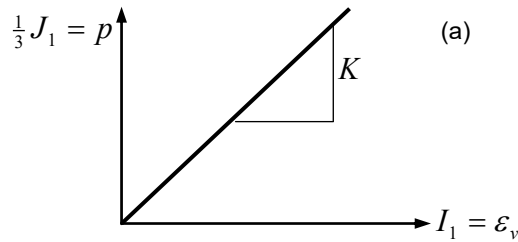
Espacio de tensiones



- Trayectorias contenidas en el plano triaxial:
 - CH:** Compresión hidrostática ($\Delta\sigma_1 = \Delta\sigma_2 = \Delta\sigma_3$).
 - CTC:** Compresión triaxial convencional ($\Delta\sigma_1 > 0, \Delta\sigma_2 = \Delta\sigma_3 = 0$).
 - RTC:** Compresión triaxial reducida ($\Delta\sigma_1 = 0, \Delta\sigma_2 = \Delta\sigma_3 < 0$).
 - CTE:** Extensión triaxial convencional ($\Delta\sigma_1 = 0, \Delta\sigma_2 = \Delta\sigma_3 > 0$).
 - RTE:** Extensión triaxial reducida ($\Delta\sigma_1 < 0, \Delta\sigma_2 = \Delta\sigma_3 = 0$).
- Trayectorias contenidas en el plano octaédrico:
 - CS:** corte simple ($\Delta\sigma_2 = 0, \Delta\sigma_1 = -\Delta\sigma_3$).

Ley de Hook generalizada:

- Utiliza dos parámetros, el módulo volumétrico K y el módulo de corte G .
- Alternativamente se pueden usar el módulo de elasticidad E y el coeficiente de Poisson.



$$K = \frac{1}{3} E / (1 - 2\nu)$$

$$G = \frac{1}{2} E / (1 + \nu)$$

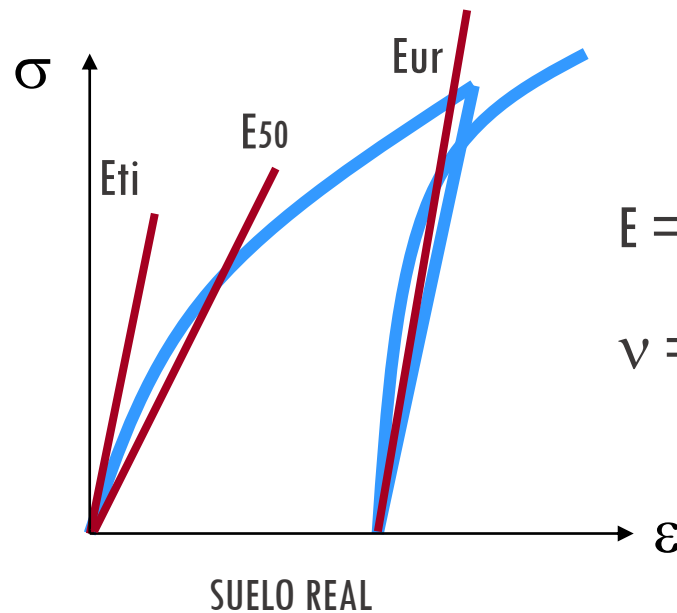
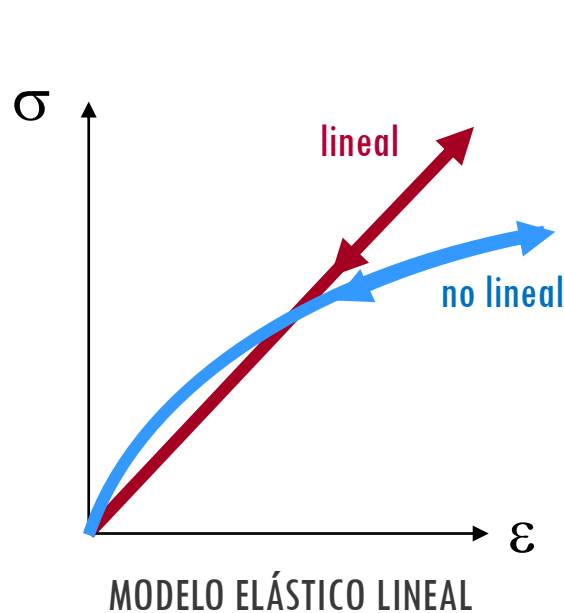
Modelo elástico lineal e isotrópico: a) módulo de deformación volumétrica K ; b) módulo de corte G .

- El modelo es *desacoplado*. El material es *isótropo*.

$\begin{Bmatrix} \sigma_{11} \\ \sigma_{22} \\ \sigma_{33} \\ \sigma_{12} \\ \sigma_{23} \\ \sigma_{13} \end{Bmatrix} = \begin{bmatrix} K + \frac{4}{3}G & K - \frac{2}{3}G & K - \frac{2}{3}G & 0 & 0 & 0 \\ K - \frac{2}{3}G & K + \frac{4}{3}G & K - \frac{2}{3}G & 0 & 0 & 0 \\ K - \frac{2}{3}G & K - \frac{2}{3}G & K + \frac{4}{3}G & 0 & 0 & 0 \\ 0 & 0 & 0 & 2G & 0 & 0 \\ 0 & 0 & 0 & 0 & 2G & 0 \\ 0 & 0 & 0 & 0 & 0 & 2G \end{bmatrix} \begin{Bmatrix} \varepsilon_{11} \\ \varepsilon_{22} \\ \varepsilon_{33} \\ \varepsilon_{12} \\ \varepsilon_{23} \\ \varepsilon_{13} \end{Bmatrix}$	$\begin{Bmatrix} \varepsilon_{11} \\ \varepsilon_{22} \\ \varepsilon_{33} \\ \varepsilon_{12} \\ \varepsilon_{23} \\ \varepsilon_{13} \end{Bmatrix} = \begin{bmatrix} 1/E & -\nu/E & -\nu/E & 0 & 0 & 0 \\ -\nu/E & 1/E & -\nu/E & 0 & 0 & 0 \\ -\nu/E & -\nu/E & 1/E & 0 & 0 & 0 \\ 0 & 0 & 0 & 1/2G & 0 & 0 \\ 0 & 0 & 0 & 0 & 1/2G & 0 \\ 0 & 0 & 0 & 0 & 0 & 1/2G \end{bmatrix} \begin{Bmatrix} \sigma_{11} \\ \sigma_{22} \\ \sigma_{33} \\ \sigma_{12} \\ \sigma_{23} \\ \sigma_{13} \end{Bmatrix}$
--	---

MODELOS ELÁSTICOS:

- Establecen una relación entre tensiones y deformaciones lineal o no lineal.
- Para el caso lineal, este modelo elástico es útil para modelar:
 - pequeñas deformaciones (E_{ti} , E_{50});
 - Trayectorias de descarga y recarga (E_{ur});
- También existen modelos hipoelásticos e hiperelásticos.

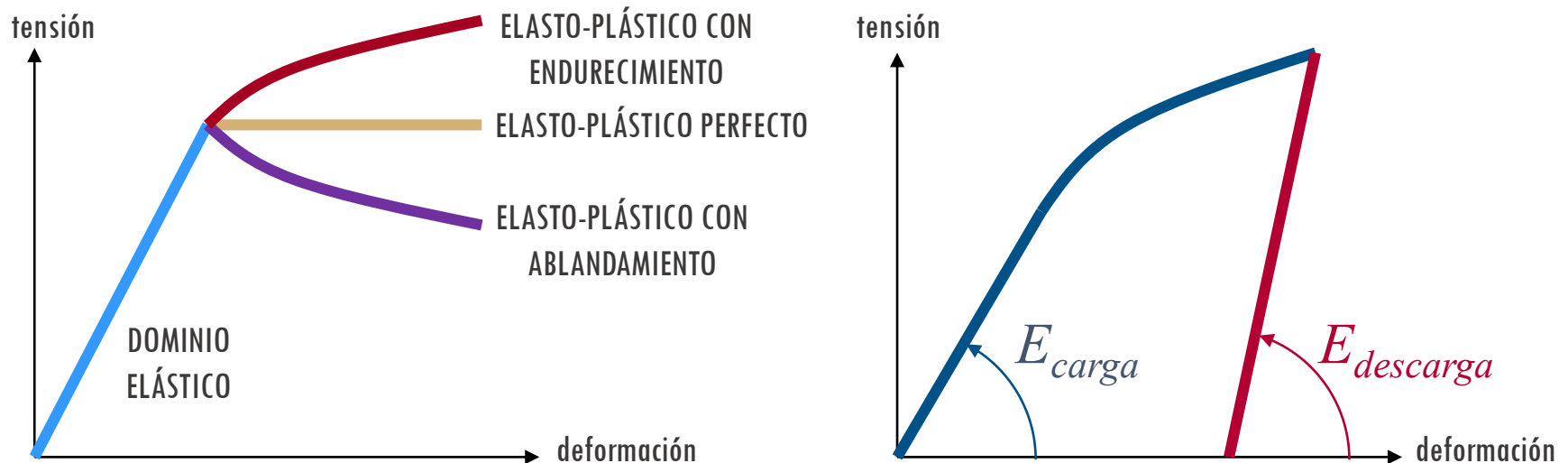


$$E = \sigma_{\text{desvio}} / \varepsilon_{\text{axial}}$$

$$\nu = 0,50 (1 - \varepsilon_{\text{vol}} / \varepsilon_{\text{axial}})$$

MODELOS ELÁSTOPLÁSTICOS:

- Los suelos en general experimentan **DEFORMACIONES PLÁSTICAS** desde bajos niveles de carga, con lo cual se van apartando gradualmente del comportamiento elástico;
 - el modelo elástico debe tener un **LÍMITE** para ser aplicable a los suelos.
- Ese límite viene dado por un **CRITERIO DE RUPTURA** que debe asumirse;
 - A partir de este límite, comienza el comportamiento plástico del suelo.
- Una **LEY DE PLASTIFICACIÓN** es necesaria para controlar el comportamiento plástico.



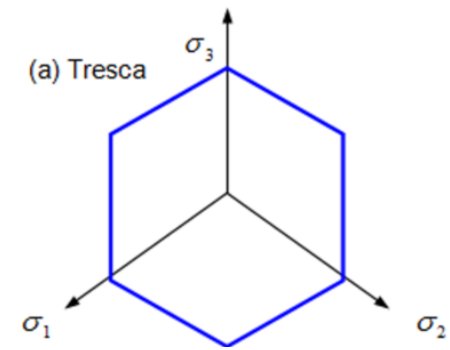
CRITERIOS PARA METALES:

- Dependen solo del tensor de desvío (independientes del confinamiento).
- En suelos, los criterios de ruptura deben depender del tensor hidrostático.
 - Pero sirven para análisis con condición $\phi = 0$, en arcillas saturadas en condición no drenada.

CRITERIO DE TRESCA:

- El flujo plástico ocurre cuando la máxima tensión de corte alcanza el valor de la máxima tensión de corte que ocurre en el ensayo de tracción uniaxial;

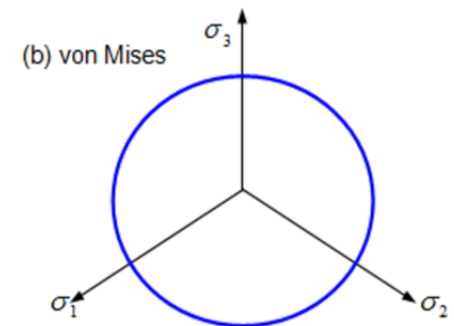
$$\sigma_1 - \sigma_2 = \pm \sigma_0 \quad \text{o} \quad \sigma_2 - \sigma_3 = \pm \sigma_0 \quad \text{o} \quad \sigma_3 - \sigma_1 = \pm \sigma_0$$



CRITERIO DE VON MISES:

- El flujo plástico se inicia cuando la energía de distorsión alcanza el valor de la energía de distorsión de plastificación observada en el ensayo de tracción uniaxial.

$$U_d = GE_{\bar{\nu}} E_{\bar{\nu}}$$

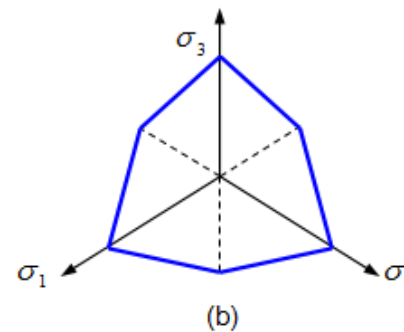
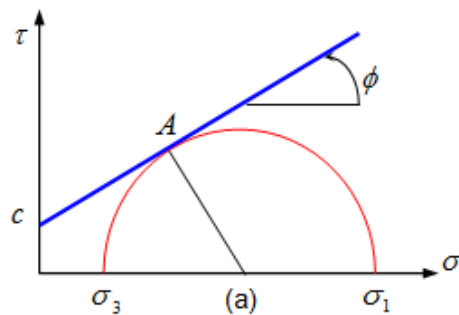


CRITERIO DE MOHR COULOMB:

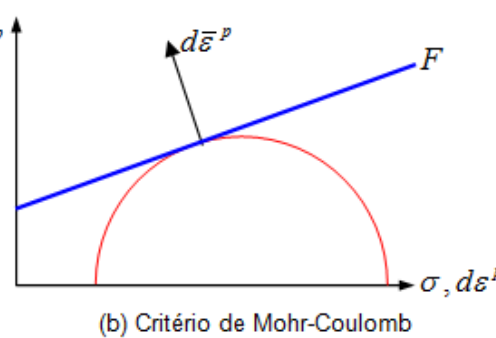
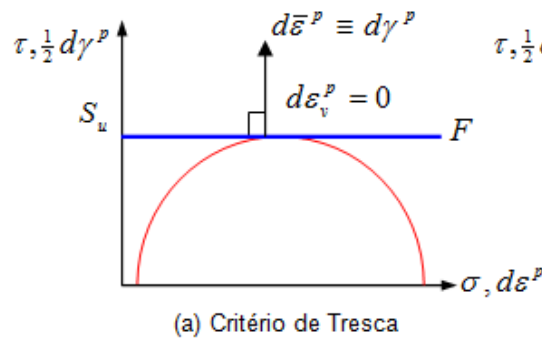
- Basado en la ecuación de resistencia al corte.
- Es formulado a partir del círculo de Mohr.
- Depende de las tensiones normales máxima y mínima.
 - Este criterio incluye el efecto del confinamiento, expresado por el estado hidrostático:

$$\tau = c + \sigma \tan \phi$$

$$\frac{\sigma_1 - \sigma_3}{2} = \frac{\sigma_1 + \sigma_3}{2} \text{sen } \phi + c \text{cos } \phi$$



- Criterio incluye el fenómeno de dilatación para las deformaciones plásticas:



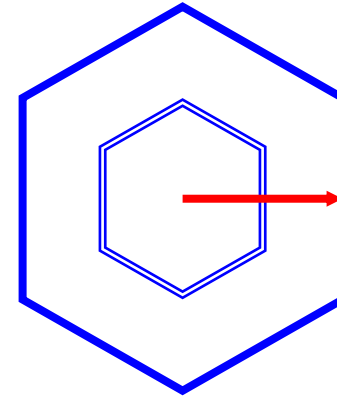
ENDURECIMIENTO ISOTRÓPICO:

- La superficie de plastificación inicial se expande con la historia de cargas y deformaciones aplicadas al material.
- Pero conserva su forma original.

ENDURECIMIENTO CINEMÁTICO:

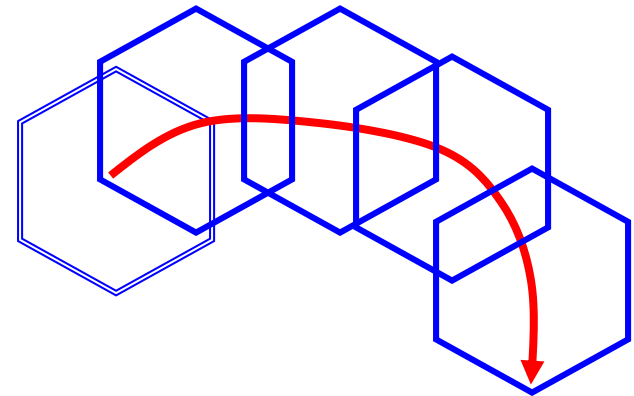
- La superficie de plastificación inicial se traslada según sea la historia de cargas y deformaciones, sin aumentar su tamaño.
- El dominio elástico permanece constante.
 - Efecto *Bauchinger*: apunta que la superficie de plastificación tiende a disminuir en el sector opuesto al que se expande durante el endurecimiento (comportamiento cinemático).

Ley de endurecimiento isotrópico



→ Historia de cargas

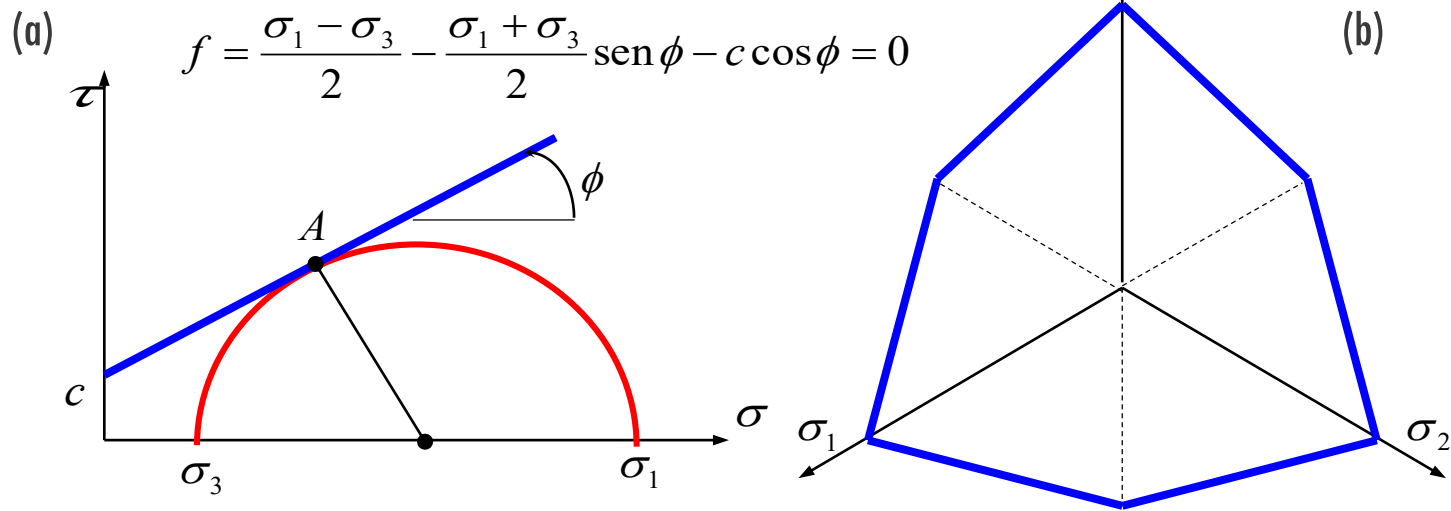
Ley de endurecimiento cinemático



MOHR COULOMB = La Ley de Hooke + Criterio de rotura

- Modelo elastoplástico perfecto;
- Criterio de ruptura incluye el efecto de la tensión esférica (p);
- Parámetros de fácil ajuste, con sentido físico;
- Incluye efecto de dilatancia;
- Diferente respuesta para compresión y extensión;
- No incluye el efecto de la tensión intermedia (σ_2);

- PARÁMETROS ELÁSTICOS
E: Módulo de Young (E_{30});
v: Coeficiente de Poisson;
- PARÁMETROS DE RUPTURA
c: Cohesión;
 ϕ : Ángulo de fricción interna;
- PARÁMETROS AVANZADOS
 ψ : Ángulo de dilatancia;
Otros;



Criterio de rotura Mohr-Coulomb: a) plano (σ - τ); b) plano octaédrico

Resumen

- Los modelos constitutivos idealizan la relación entre tensiones e deformaciones.
- Son un conjunto de ecuaciones y criterios relacionando las variables.
- Incluyen parámetros que conectan al modelo con el material específico.
- En suelos es relevante considerar la dilatancia y el “efecto acoplado”.
- Por eso es útil hablar de estados y trayectorias isotrópica y de desvío.
- La elasticidad modela ciertas etapas del comportamiento del suelo.
- Es necesario utilizar modelos elastoplásticos.
- El comportamiento plástico puede ser perfecto o incluir endurecimiento o ablandamiento.
- La ley de endurecimiento — ablandamiento puede ser isotrópica o cinemática.



UNCUYO
UNIVERSIDAD
NACIONAL DE CUYO



FACULTAD DE
INGENIERÍA

MECÁNICA DE SUELOS Y ROCAS II

MODELOS CONSTITUTIVOS EN GEOTECNIA

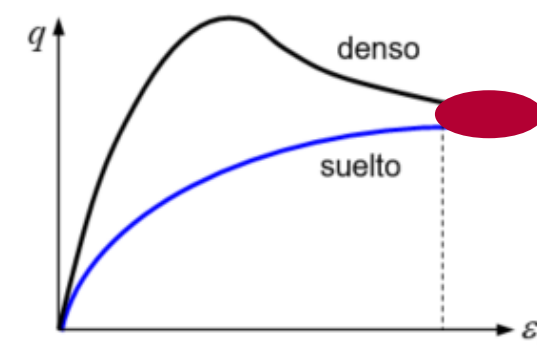
Teoría de Estado Crítico — Modelo “Cam Clay Modificado”

Bases de la Teoría de Estado Crítico

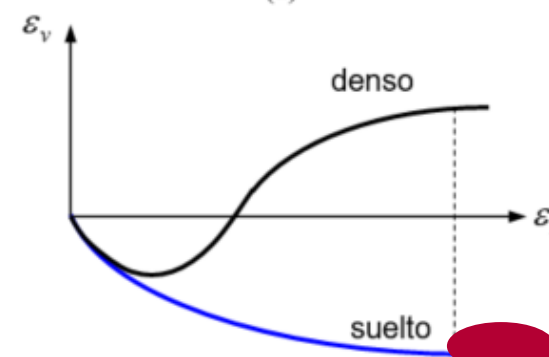
- Desde Coulomb (1776) y Rankine (1857) se vienen aplicando los conceptos de la plasticidad al estudio tensión-deformación de suelos, adaptando modelos aplicados a metales (ej. **Modelo Mohr-Coulomb como modelo de Tresca extendido**).
- En 1958, a partir de la **experiencia de laboratorio de suelos acumulada en Corte Triaxial**, el **Prof. Roscoe** de la universidad de Cambridge observó:

(En ensayos triaxiales convencionales drenados y no drenados en suelos cohesivos saturados):

- El suelo inicialmente experimenta aumento de resistencia con contracción o dilatancia.
- Con el incremento de la deformación axial, el suelo en cualquier caso *tiende a una resistencia final a volumen constante*.
- Este estado a volumen constante se denomina **estado crítico** y los estados (v, p, q) críticos se alinean en torno a una **Línea de Estado Crítico (LEC o CSL)**.



(a)



(b)

El Prof. Roscoe desarrolló un **modelo comportamental** para suelos integrando:

- los estados de tensión y deformación de suelos;
- los estados elástico y plástico, y la frontera dinámica entre ellos;
- La evolución de estados de carga hacia un **estado crítico** con volumen y resistencia al corte constante.
- El estado del suelo se define por **tres variables de estado**:

- **Volumen específico:**

$$v = 1 + e$$

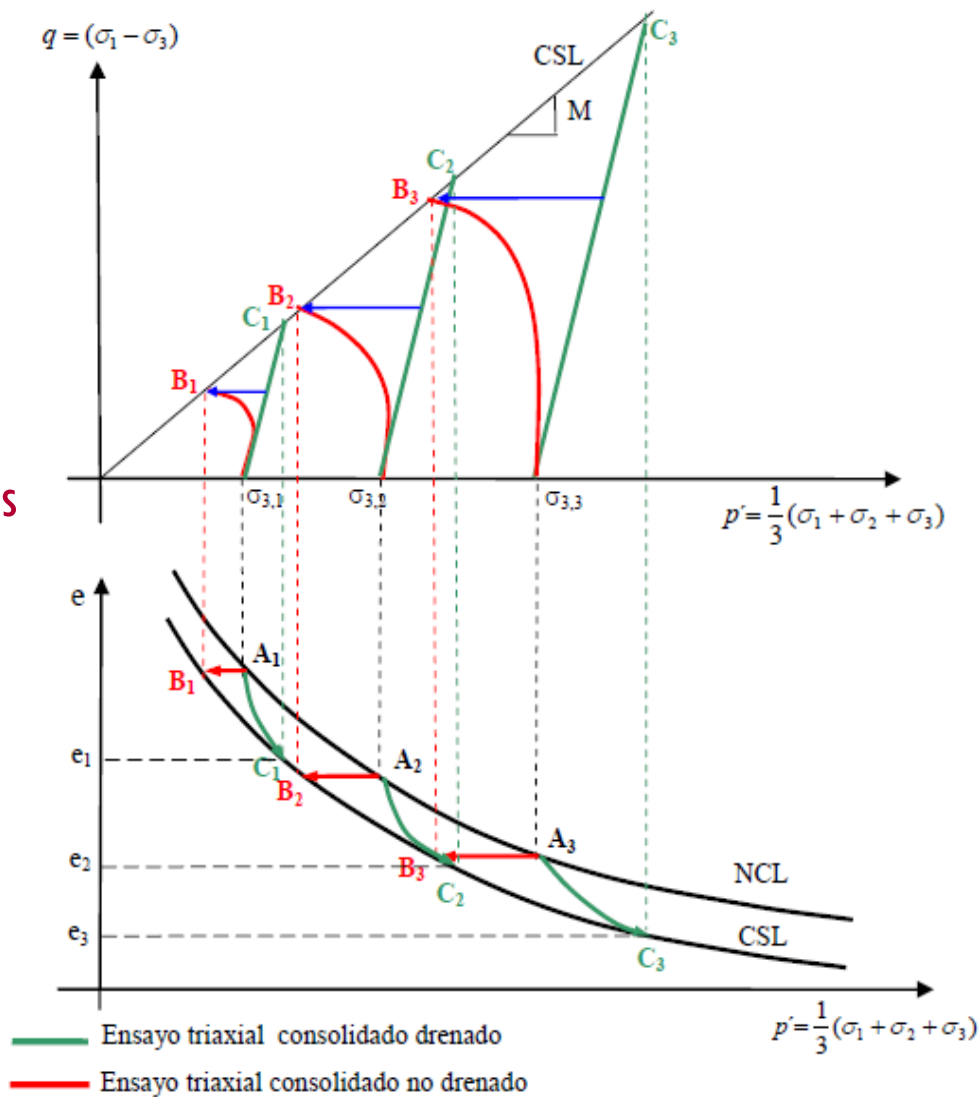
(siendo “e” la relación de vacíos)

- **Tensión media efectiva:**

$$p = (\sigma_1 + \sigma_2 + \sigma_3)/3$$

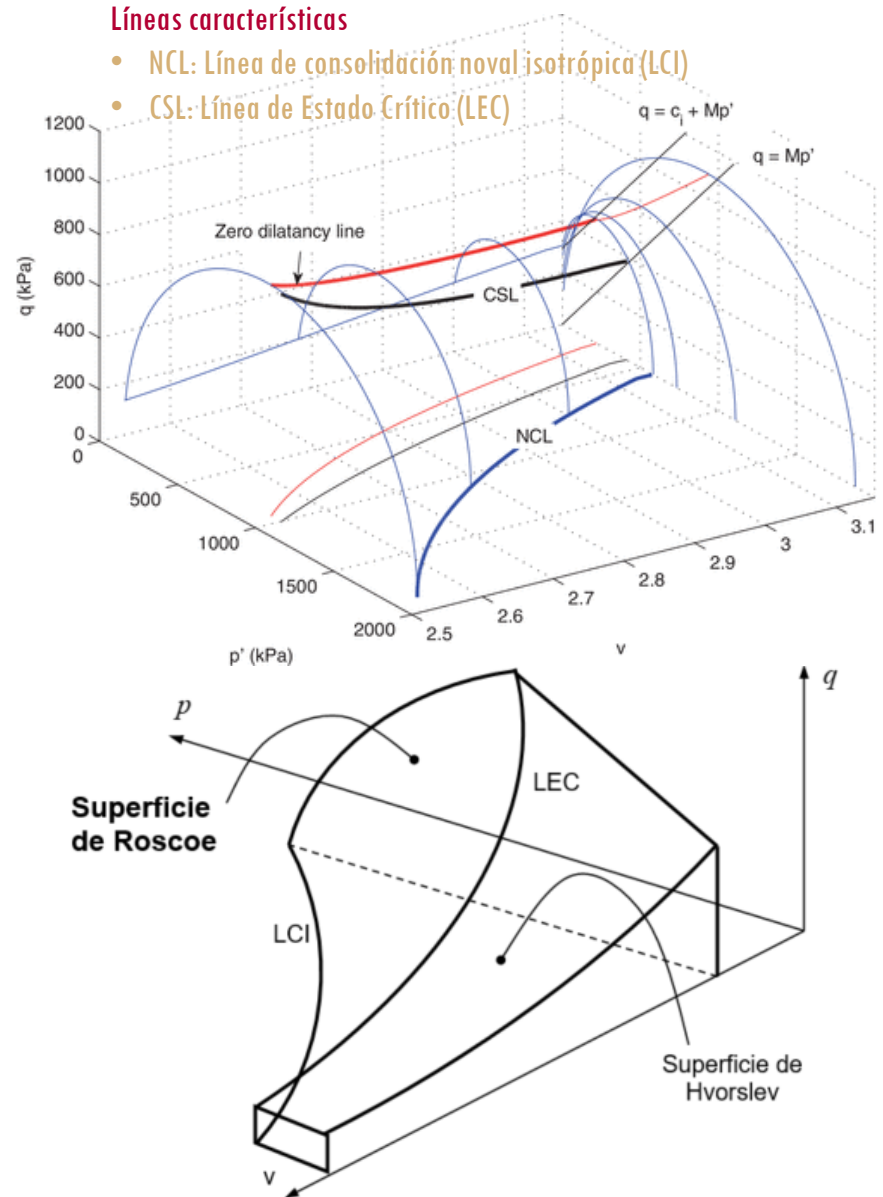
- **Tensión de desvío :**

$$q = (\sigma_1 - \sigma_3)$$



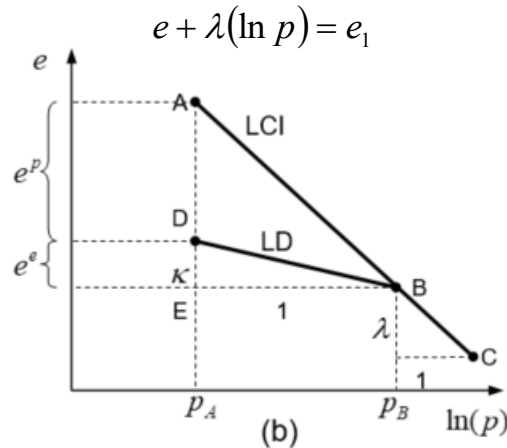
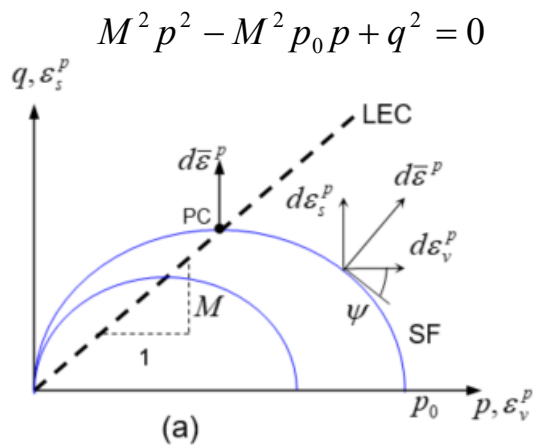
Superficie de Estado Límite 3D

- En el espacio definido por las 3 variables de estado (v , p , q), se define una Superficie de estado límite tridimensional *de Roscoe*.
- Cuando un estado (v , p , q) llega a tocar esta superficie, la masa de suelo entra en fluencia y plastifica.
- Para combinaciones de (v , p , q) por debajo de la superficie, el suelo se comporta de forma elástica.
- En esa superficie se inscribe la Línea de Estado Crítico (CSL o LEC).
- Para suelos dilatantes se suele modificar un sector de la superficies, incluyendo la *superficie de Hvorslev*.



Cam Clay Modificado (Roscoe & Burland, 1968)

- Propone una *envolvente de ruptura* fija en el plano p-q, a través de la proyección de la línea de estado crítico (LEC o CSL) como recta de inclinación "M" pasando por el origen.
- Propone, adicionalmente, una *superficie de fluencia* SF cerrada en forma de **elipse**, expansible con la carga y controlada por el valor de la tensión media "p₀" que actúa como parámetro de endurecimiento.
- Los vectores de flujo plástico son perpendiculares a la SF.
- La intersección entre SF y LEC es el punto crítico PC. El flujo plástico en ese punto es a volumen constante (vector vertical).



$$M = \frac{6 \cdot \text{sen}(\phi')}{3 - \text{sen}(\phi')} \quad M = \frac{\phi'}{23} - 0,1$$

$$\lambda = \frac{Cc}{2,3} \quad \kappa = \frac{Cs}{2,3}$$

$$p' = \frac{q}{3} + (\sigma_3 - u)$$

Cam Clay Modificado (Roscoe & Burland, 1968)

- Deformaciones

- volumétricas y de desvío
- plásticas y totales

$$\eta = q/p$$

$$d\varepsilon_v^p = \frac{\lambda - \kappa}{1 + e_0} \left(\frac{dp}{p} + \frac{2\eta d\eta}{M^2 + \eta^2} \right) \quad d\varepsilon_v^e = -\frac{de^e}{1 + e_0} = \frac{\kappa}{1 + e_0} \frac{dp}{p}$$

$$d\varepsilon_v = \frac{\lambda}{1 + e_0} \left[\frac{dp}{p} + \left(1 - \frac{\kappa}{\lambda} \right) \frac{2\eta d\eta}{M^2 + \eta^2} \right]$$

$$d\varepsilon_s = d\varepsilon_s^p = \frac{\lambda - \kappa}{1 + e_0} \left(\frac{dp}{p} + \frac{2\eta d\eta}{M^2 + \eta^2} \right) \frac{2\eta}{M^2 - \eta^2}$$

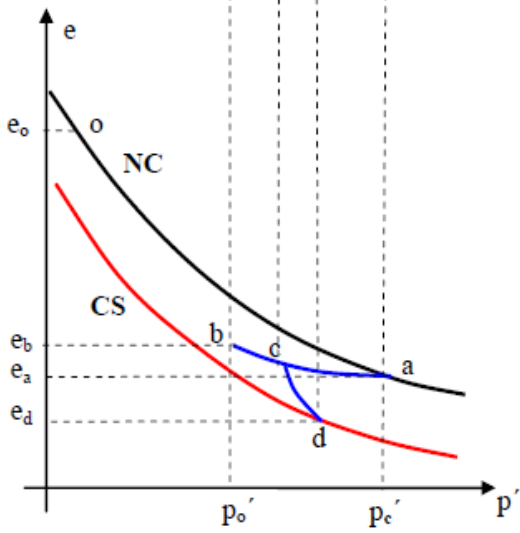
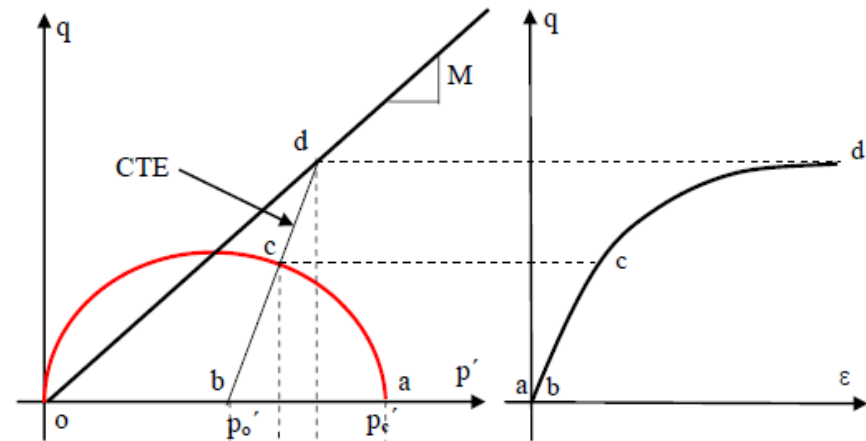
- Endurecimiento y ablandamiento plásticos: $\frac{dp_0}{p_0} = d\varepsilon_v^p \frac{1 + e_0}{\lambda - \kappa}$

- Módulo volumétrico para trayectorias elásticas: $K = \frac{dp}{d\varepsilon_v^e} = \frac{1 + e_0}{\kappa} p_0$

- Parámetros del modelo:

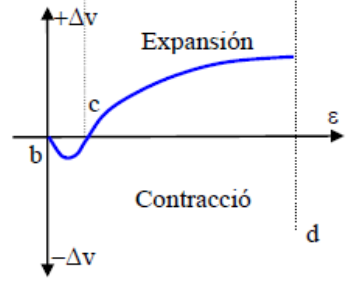
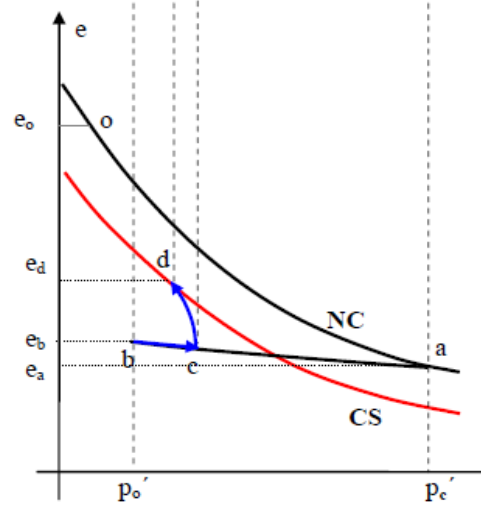
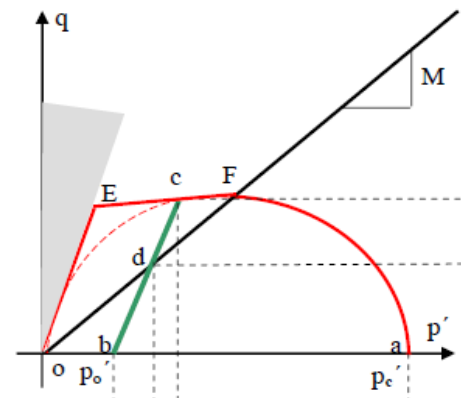
- e_0 (relación de vacíos inicial)
- λ (pendiente de la LCI)
- κ (pendiente para descarga y recarga)
- M (pendiente de la LEC en el plano p-q)
- p_c (presión de pre-consolidación)

Cam Clay Modificado (Roscoe & Burland, 1968)



$$R = \frac{P'_c}{P'_o} \leq 2$$

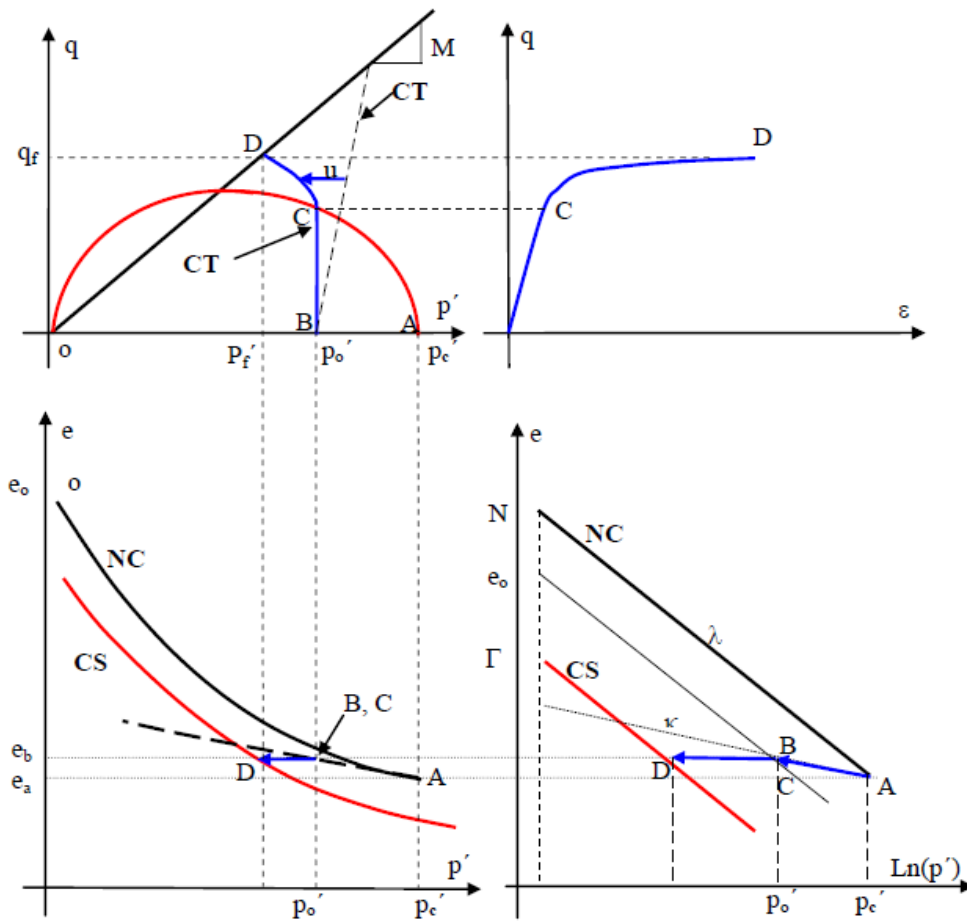
Suelo ligeramente preconsolidado [DRENADO]



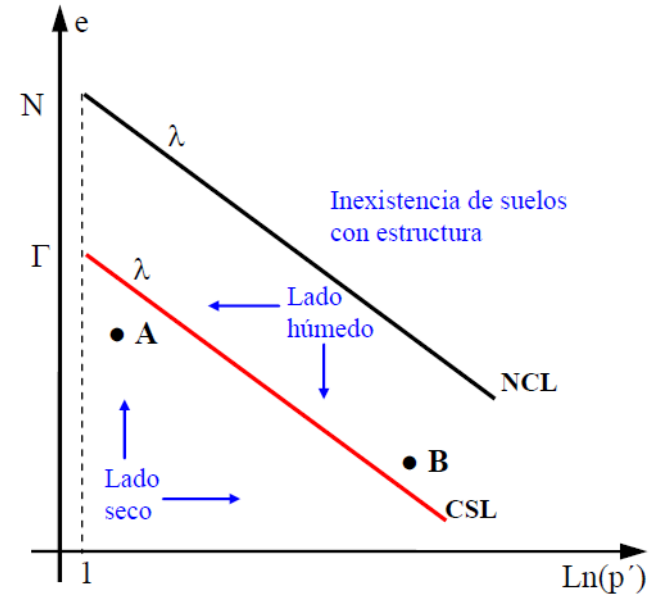
Suelo fuertemente preconsolidado [DRENADO]

Cam Clay Modificado (Roscoe & Burland, 1968)

Suelo ligeramente preconsolidado
[CONSOLIDADO - NO DRENADO]



Regiones posibles de estado del suelo
en función del OCR



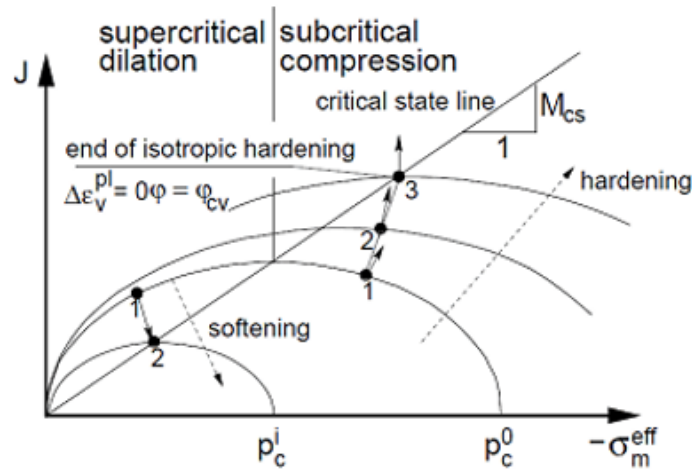
Línea de consolidación noval (NCL o LCN)

$$e = N - \lambda \ln(p')$$

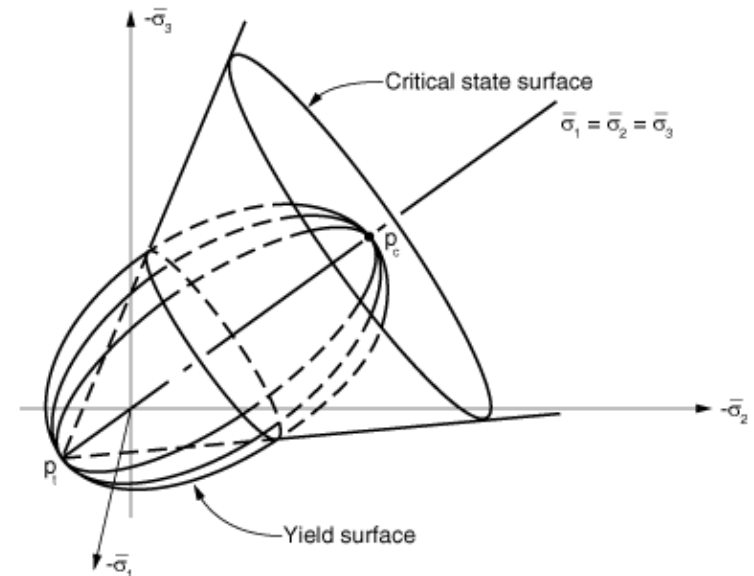
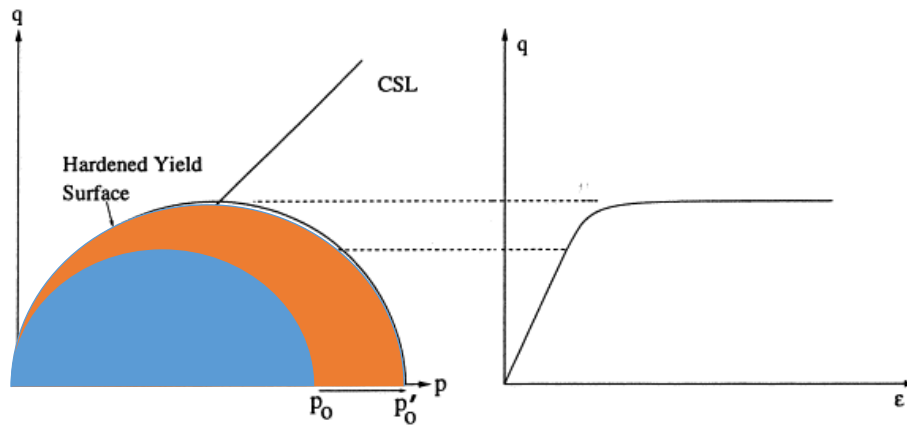
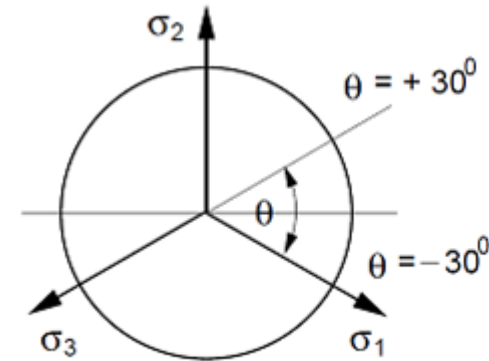
Línea de estado crítico (LEC o CSL)

$$e = \Gamma - \lambda \ln(p')$$

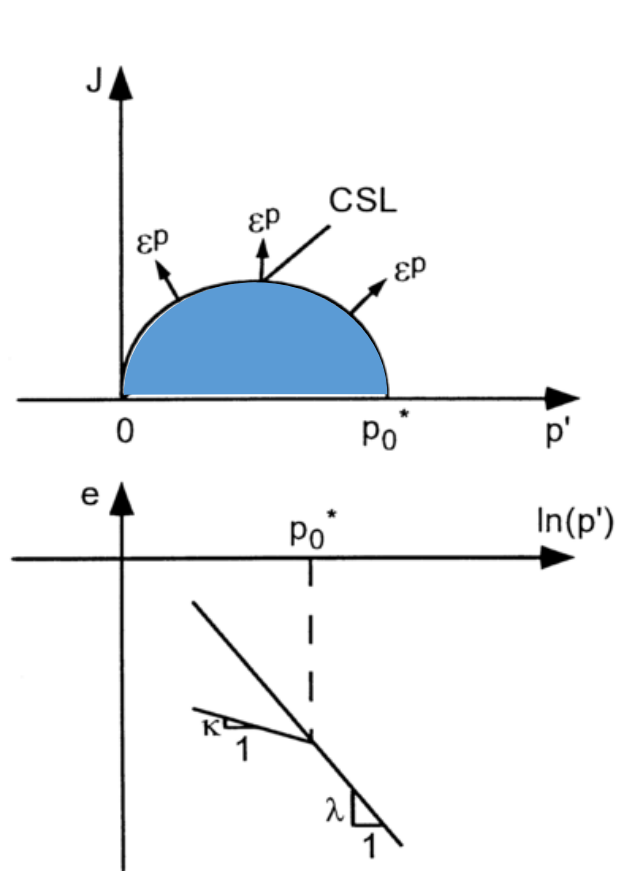
- Cam Clay: endurecimiento y ablandamiento plástico.



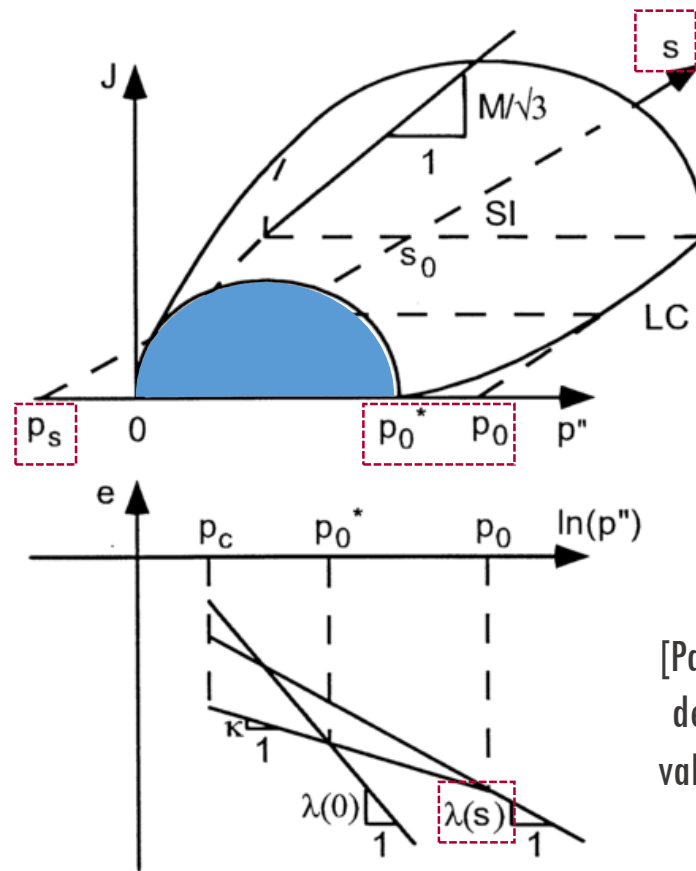
- Cam Clay en el espacio de tensiones.



• **BBM Model (Alonso et al, 1990): Extensión para Suelos No Saturados**



a) Modified Cam clay model



b) Extension to unsaturated conditions

[Superficie de fluencia SF dependientes del valor de la succión]

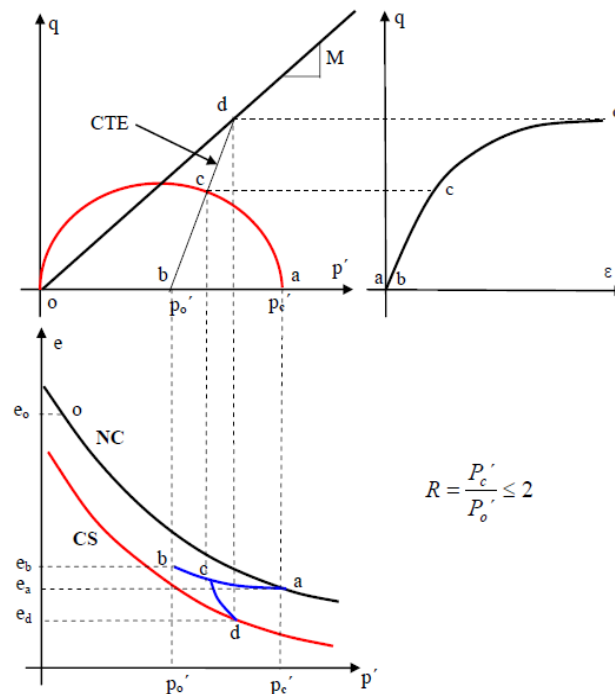
[Parámetros λ y κ dependientes del valor de la succión]

Resumen

- La **Teoría de Estado Crítico** se desarrolló integralmente a partir de la experiencia de laboratorio acumulada sobre el comportamiento de suelos en consolidación y corte triaxial.
- **El Modelo Cam Clay Modificado:**
 - Utiliza parámetros con sentido físico que conectan al modelo con el suelo que representan.
 - Considera fenómenos relevantes en suelos como la dilatancia y el endurecimiento plástico.
 - La elasticidad modela ciertas etapas del comportamiento del suelo.
 - El modelo elastoplástico incluye endurecimiento y ablandamiento plástico con una ley de endurecimiento — ablandamiento isotrópica.
 - Puede extenderse con relativa facilidad al campo no saturado.

Trabajo Práctico: Aplicación de modelo Cam Clay Modificado.

- Datos: $\lambda=0.448$; $\kappa=0.06$; $M=1.10$; $e_0=2.15$; $p_c=150\text{kPa}$;
- Ensayo Triaxial Consolidado-Drenado :
 - Suelo preconsolidado a un valor p_{c_i} ;
 - $\sigma_3=75, 100$ y 125kPa (presiones de cámara);
 - $\Delta\sigma_1=5\text{kPa}$ (intervalo de carga desviadora);
- Generar una Tabla de Cálculo.
- Graficar:
 - Gráfico q x p incluyendo:
 - Trayectoria del ensayo
 - LEC de pendiente M ;
 - Tensión de desvío ($\sigma_1 - \sigma_3$) x deformación axial ε_1 ;
 - Curva $e - \ln(p)$ incluyendo trayectoria de ensayo y líneas NCL y CSL;
 - Deformaciones volumétricas x deformación axial ε_1 ;
 - Deformaciones de corte x deformación axial ε_1 ;



Trabajo Práctico: Aplicación de modelo Cam Clay Modificado.

- Tabla de Cálculo:

- Columna 1 a 4: σ_1, σ_3, p' y q ; $p' = \frac{1}{3}(\sigma_1 + \sigma_2 + \sigma_3)$ $q = (\sigma_1 - \sigma_3)$

- Columna 5 y 6: $\eta, d\eta$; $\eta = q/p'$ $d\eta = \eta(i) - \eta(i-1)$

- Columna 7: p_0 ; (valor de referencia de la SF elíptica) $\frac{M^2 + \eta^2}{M^2} = \frac{p_0}{p}$

- Columna 8: Control p_0 vs. p_c

- (Si $p_0 < p_c$ comportamiento elástico) calculo sólo def. volumétricas elásticas (columna 9)

- (Si $p_0 > p_c$ comportamiento plástico) calculo sólo def. volumétricas totales (columna 10)

- Columna 9: Incremento de deformaciones volumétricas elásticas; $d\varepsilon_v^e = -\frac{de^e}{1+e_0} = \frac{\kappa}{1+e_0} \frac{dp}{p}$

- Columna 10: Incremento de deformaciones volumétricas totales; $d\varepsilon_v = \frac{\lambda}{1+e_0} \left[\frac{dp}{p} + \left(1 - \frac{\kappa}{\lambda}\right) \frac{2\eta d\eta}{M^2 + \eta^2} \right]$

- Columna 11: Deformaciones volumétricas acumuladas: $\varepsilon_v = \varepsilon_v(i-1) + d\varepsilon_v(i)$

- Columna 12: disminución de la relación de vacíos e ; $de = d\varepsilon_v(1+e_0)$

- Columna 13: relación de vacíos e ; $e(i) = e(i-1) - de$

calcular dp/p como:
 $(p' - p'_{-1}) / p'$

Trabajo Práctico: Aplicación de modelo Cam Clay Modificado.

- Tabla de Cálculo:

- Columna 14: Incremento de deformaciones de desvío totales; $d\varepsilon_s = d\varepsilon_s^p = \frac{\lambda - \kappa}{1 + e_0} \left(\frac{dp}{p} + \frac{2\eta d\eta}{M^2 + \eta^2} \right) \frac{2\eta}{M^2 - \eta^2}$

- Columna 15: Deformaciones de desvío totales; $\varepsilon_s(i) = \varepsilon_s(i-1) + d\varepsilon_s$

- Columna 16: Deformación axial ε_1 ; $\varepsilon_1 = \varepsilon_s + \varepsilon_v/3$

- Línea LCN (LCI):

- Obtener N a partir de e_0 , p_0 y p_c $e_0 = N - (\lambda - \kappa) \cdot \text{Ln}(p_c') - \kappa \cdot \text{Ln}(p_0')$
- Graficar la recta con: $e = N - \lambda \ln(p')$

- Línea CSL (LEC):

- Obtener Γ a partir de N $\Gamma = N - (\lambda - \kappa) \text{Ln}(2)$
- Graficar la recta con $e = \Gamma - \lambda \cdot \text{Ln}(p')$